

<http://journal.rmutp.ac.th/>

การเตรียม การตรวจสอบคุณลักษณะ และศึกษาการปลดปล่อยยาปฏิชีวนะด้วยเจือโพลิเมอร์

สิรีรัตน์ ลิศนันท์* ณัฐร์คณิน ศุภเมธานนท์ กรนก บุญเสริม สุดารัตน์ สมบัติศรี
ธนาพร บัวศรี และ ตรีสุคนธ์ ตั้งสุนوارรณ

กลุ่มวิจัยนวัตกรรมวัสดุเพื่อพัฒนาและสังเคราะห์ คณะวิทยาศาสตร์และศิลปศาสตร์ มหาวิทยาลัยเทคโนโลยี
ราชมงคลอีสาน

744 ถนนสุรนารายณ์ ตำบลโนนเมือง อำเภอเมือง จังหวัดนครราชสีมา 30000

รับบทความ 19 พฤษภาคม 2017; ตอบรับบทความ 15 สิงหาคม 2017

บทคัดย่อ

จุดประสงค์ของการศึกษานี้เพื่อพัฒนาเจือโพลิเมอร์เมทิริกซ์สำหรับการควบคุมการปลดปล่อยยาอะม็อกซิซิลลิน ซึ่งเป็นยาปฏิชีวนะในสภาวะเลียนแบบกระเพาะอาหารและลำไส้ (พีเอก 1 และพีเอก 6.8 ที่อุณหภูมิ 37 องศาเซลเซียส) การศึกษานี้ใช้เม็ดยาเจือโพลิเมอร์สามสูตรโดยการเปลี่ยนแปลงปริมาณชิลิกาฟูม (GeAmSF5, GeAmSF7.5 และ GeAmSF10) เม็ดยาเจือโพลิเมอร์ถูกทดสอบกำลังรับแรงอัดและตรวจสอบคุณลักษณะด้วยกล้องจุลทรรศน์เลเซอร์แบบส�น์มิติ กล้องจุลทรรศน์อิเล็กตรอนแบบส่องกราด(SEM) เทคนิคเอกซ์เรย์ดิฟแทรกชัน (XRD) และฟูร์เรย์ทารานฟอร์มอินฟราเรด (FTIR) วิเคราะห์ผลการปลดปล่อยยาอะม็อกซิซิลลินด้วยเครื่องยูวี-วิสิเบิล สเปกโตรไฟโตมิเตอร์ พบว่าอะม็อกซิซิลลินในเม็ดยาเจือโพลิเมอร์มีความคงทนต่อตัวทำละลาย (เอทานอล น้ำ 50 องศาเซลเซียส สารละลาย พีเอก 1 และ 12) ได้มากกว่าเม็ดยาทางการค้าในเวลา 2 ชั่วโมง หากไปกว่านั้น อะม็อกซิซิลลินในเจือโพลิเมอร์แสดงการปลดปล่อยยาคงที่หลังจาก 3 ชั่วโมงทั้งในสภาวะเลียนแบบกระเพาะอาหารและลำไส้ แต่อะม็อกซิซิลลินจะมีการปลดปล่อยยาในสภาวะเลียนแบบกระเพาะอาหารได้นากกว่าเนื่องจากจะละลายออกของไอออนอะลูมิเนียมในสภาวะกรดแก่ส่งผลให้โครงสร้างเจือโพลิเมอร์ถูกทำลาย แบบจำลองทางคณิตศาสตร์ การปลดปล่อยอะม็อกซิซิลลินจากเจือโพลิเมอร์เมทิริกซ์สอดคล้องกับแบบจำลอง Higuchi มาตรที่สุดบ่งชี้ว่าเป็นการแพร่ของยาออกจากเมทิริกซ์

คำสำคัญ: จีโอโพลิเมอร์; ยาปฏิชีวนะ; อะม็อกซิซิลลิน; แบบจำลองคณิตศาสตร์การปลดปล่อยยา

* ผู้นิพนธ์ประสานงาน โทร: +6644 233 000 (4313), ไปรษณีย์อิเล็กทรอนิกส์: insireerat@gmail.com

<http://journal.rmutp.ac.th/>

Synthesis Characterization and Antibiotic Drug Release Study from Geopolymer

Sireerat Lisnund* Natkanin Supamathanon Kornkanok Boonserm

Sudarat Sombatsri Thanaporn Buasri and Treesukhon Tangsunawan

Innovative Material for Energy and Environment Research Group, Faculty of Sciences and Liberal Arts, Rajamangala University of Technology Isan, Nakhon Ratchasima
744 Suranarai Road, Mueang, Nakhon Ratchasima 30000

Received 19 May 2017; accepted 15 August 2017

Abstract

The aims of this study were developed geopolymer matrix for controlled release amoxicillin, antibiotic drug, in the *in vitro* gastric and intestines (pH 1 and pH 6.8 temperature 37 °C conditions). Three formulations of geopolymer tablets (GeAmSF5, GeAmSF7.5 and GeAmSF10) which different silica fume content were used in this study. Geopolymer tablets were measured compressive strength and characterized by using 3D laser microscope, Scanning electron microscope (SEM), X-ray diffraction (XRD) and Fourier transform infrared spectroscopy (FTIR). The amoxicillin release was analyzed by UV-VIS spectrophotometer. It was found that amoxicillin in geopolymer tablet was more resistance with various extraction solvents (ethanol, water 50 °C, pH 1 and 12 solutions) than amoxicillin commercial tablet in 2 hours. Moreover, the amoxicillin constantly release from geopolymer matrix after 3 hours in both *in vitro* gastric and intestines. However, amoxicillin was more release in gastric than intestines condition due to the strong acid leached aluminum ion causing damages geopolymer structure. Mathematical modeling of amoxicillin release from geopolymer matrix was fitted best with Higuchi model indicating diffusion of the drug out of matrix.

Keywords: Geopolymer; Antibiotic; Amoxicillin; Mathematical Drug Release Model

* Corresponding Author. Tel.: +6644 233 000 (4313), E-mail Address: insireerat@gmail.com

1. บทนำ

จีโอโพลิเมอร์เป็นวัสดุเชื่อมประสานชนิดหนึ่งที่มีส่วนผสมของแร่ธาตุเป็นองค์ประกอบเกิดปฏิกิริยาเคมีต่อกัน โดยส่วนประกอบทางเคมีของแร่ธาตุนั้นจะอยู่ในรูปของอัมอร์ฟัส (Amorphous) ซึ่งมีองค์ประกอบของชิลิกา (SiO_2) และ อลูมินา (Al_2O_3) เป็นหลัก จีโอโพลิเมอร์สามารถเตรียมได้จากสารประกอบอะลูมิโนชิลิกะ ทำให้แตกตัวด้วยอัลคาไลน์หรือสารประกอบที่เป็นด่างสูงแล้วใช้ความร้อนเป็นตัวเร่งปฏิกิริยา [1] วัสดุจีโอโพลิเมอร์เป็นวัสดุชนิดใหม่ที่มีการประยุกต์ใช้งานได้อย่างหลากหลายตัวอย่าง เช่น ทางด้านวัสดุก่อสร้าง [2] ตัวเร่งปฏิกิริยา [3] ตัวดูดซับ [4] เป็นต้น

ระบบนำส่งยา คือ การเตรียมยาในรูปแบบต่าง ๆ ที่สามารถควบคุมให้ปลดปล่อยยาในอัตราและปริมาณที่กำหนด เพื่อทำให้เกิดผลสูงสุดในการรักษาและลดผลข้างเคียง เนื่องจากการเตรียมยาเพื่อใช้ในการรักษาแบบเดิม ๆ นั้น ยาถูกปลดปล่อยออกจากจังที่ระดับที่ให้ผลในการรักษาโดยทันที และค่อย ๆ ลดระดับลงจนหมดทุกที จากนั้นผู้ป่วยต้องรับประทานยาใหม่ ทำให้ต้องเพิ่มความถี่ในการใช้ยา ในขณะที่การเตรียมยาในรูปแบบควบคุมการปลดปล่อย จะทำให้ระดับของยาในพลาสม่าคงที่เป็นเวลานานตลอดช่วงการใช้ จึงไม่จำเป็นต้องใช้ยามากครั้ง ยาเม็ดรูปแบบนี้เรียกว่า Modified Release [5] โดยส่วนมากแล้วนิยมใช้โพลิเมอร์เป็นองค์ประกอบสำคัญในระบบนำส่งยาที่ช่วยควบคุมให้การปลดปล่อยยาให้เกิดช้า ๆ และคงที่ในปริมาณที่ต้องการ โดยไม่ทำให้เกิดการปลดปล่อย หรือตัวยาถูกทำลายไปก่อน ทั้งนี้โพลิเมอร์ที่นำมาใช้ ได้แก่ โพลิเมอร์แตกสลายทางชีวภาพมีทั้งโพลิเมอร์รวมชาติ เช่น แป้ง (Starch) ไหม (Silk) ไคติน (Chitin) และไคโตซาน (Chitosan) เป็นต้น และโพลิเมอร์สังเคราะห์ เช่น โพลี (ไกลโคลิกแอชิด) และโพลี (แล็กติกแอชิด) [6], [7] เป็นต้น อย่างไรก็ตาม ปัจจุบันหลักของการใช้ยาเม็ดรูปแบบ Modified Release คือการใช้ยาไม่ถูกย่อย เช่น การหัก บด แบ่งหรือเคี้ยว

เม็ดยา ทำให้เม็ดยาสูญเสียการควบคุมการปลดปล่อยยาออกจากเม็ดยา และยาบางชนิดถูกจัดให้เป็นยาประเภทห้ามหักแบ่ง บด เคี้ยวหรือทำให้เม็ดยาแตกโดยเด็ดขาด เนื่องจากทำให้ยาสลายตัวไปก่อนที่จะเข้าสู่ร่างกายหรือลิ้งอวัยวะเป้าหมาย หรืออาจทำให้ได้รับยาเกินขนาดจนนำไปสู่อาการพิษจากการใช้ยาได้ การนำจีโอโพลิเมอร์มาใช้ในการควบคุมการปลดปล่อยยา และเสริมกำลังด้านความแข็งแรงของเม็ดยาเริ่มต้นโดย Jämstorp และคณะ [8] ผสมและขึ้นรูปเม็ดยาประเภทยาบรรเทาอาการปวดกลุ่มยาโอปิอยด์โดยใช้จีโอโพลิเมอร์ที่สังเคราะห์จากเกลินกับฟูมิชิลิกา พบร่วมกับยาสามารถฝังตั้งร่องในจีโอโพลิเมอร์ได้สามารถปลดปล่อยตัวยาได้ 60-80% ภายใน 10 ชั่วโมงและมีอัตราการคงอยู่ใน 24 ชั่วโมง มีความแข็งตัวมากไม่สามารถแตกได้ด้วยพื้นหรือมีอมนุษย์ โดยรับแรงอัดได้ถึง 50-60 MPa Forsgren และคณะ [9] พบร่วมกับการเตรียมจีโอโพลิเมอร์อัตราส่วนไมลาร์ $\text{Al}/\text{Si} = 2:1$ มีประสิทธิภาพต่อการปลดปล่อยยาจากกลุ่มยาโอปิอยด์ศึกษาการปลดปล่อยยาแบบ *in vitro* ในเวลา 12 ชั่วโมงตัวยาคงอยู่ทำให้สามารถใช้รักษาได้ ความแข็งแรงเชิงกลพบว่าไม่สามารถเคี้ยวให้แตกหรือละลายได้ ทำให้เกิดความปลอดภัยในการใช้ยา Cai และคณะ [10] ใช้วัสดุจีโอโพลิเมอร์เป็นตัวช่วยพัฒนาสูตรยาที่คงทนต่อแรงอัด (Tamper-resistance Formulation) และเปรียบเทียบกับกลุ่มยาโอปิอยด์ตัวยาออกซิโคไดนทางการค้า พบร่วมกับยาที่มีจีโอโพลิเมอร์ผสมอยู่มีความแข็งแรงต่อการอัด มีความทนต่อความร้อน มีความคงทนต่อสภาพแวดล้อม และใช้เวลานานในการแยกตัวยาออกจากเม็ดยานานกว่า เม็ดยาทางการค้า มากไปกว่านั้นจีโอโพลิเมอร์ไม่สามารถย่อยสลายได้ในร่างกาย (Non-biodegradable) ทำให้ร่างกายขับถ่ายออกมากได้โดยไม่เป็นอันตรายต่อร่างกาย

ในงานวิจัยนี้เป็นการเตรียม การศึกษาคุณสมบัติทางกายภาพ การปลดปล่อยยาในตัวทำลายทางเคมี

สภาพะเลียนแบบกระเพาะอาหารและลำไส้เล็ก และแบบจำลองคณิตศาสตร์ ของจีโอโพลิเมอร์ในระบบการนำส่งยาปฏิชีวนะ โดยใช้ยาอะม็อกซิซิลลิน เนื่องจากปัจจุบันอะม็อกซิซิลลินมีการนำใช้อย่างแพร่หลายสำหรับรักษาโรคที่เกิดจากการติดเชื้อแบคทีเรีย เช่น โรคแพลงในกระเพาะอาหาร เป็นต้น มากไปกว่านั้น การประยุกต์ใช้จีโอโพลิเมอร์ในการปลดปล่อยยาปฏิชีวนะ ยังไม่มีรายงานการวิจัยและการศึกษามาก่อน

2. ระเบียบวิธีวิจัย

2.1 สารเคมีและเครื่องมือ

อะม็อกซิซิลลิน (Amoxicillin, $C_{16}H_{19}N_3O_5S$) (เกรดวิเคราะห์, Sigma-Aldrich และ เม็ดยาทางการค้า, Amoxicillin 500) ซิลิกาฟูม (Silica Fume, WR Grace) ดินขาว (Kaolin) จากจังหวัดลำปาง น้ำปราศจากไอออน และสารเคมีพื้นฐานเกรดวิเคราะห์

เครื่องยูวี-วิสิเบิล สเปกโตรโฟโตเมตร (Shimadzu, UV-2450) เครื่องเขย่าแบบควบคุมอุณหภูมิ (Connecta SA, Optic Ivyman System 1102-2102) เครื่องฟูเรียร์ทรานฟอร์มอินฟราเรด สเปกโตรโฟโตเมตร (Perkin, Spectrum100) กล้องจุลทรรศน์สำเร็จรูปแบบสามมิติ (Olympus, OLS 4100 LEXT) เครื่องเอกซ์เรย์ดิฟแพรกรชัน (Phillips, X'Pert pro MPD) กล้องจุลทรรศน์อิเล็กตรอนแบบส่องราก (JEOL, JSM-5910LV)

2.2 การเตรียมเม็ดยาอะม็อกซิซิลลินในจีโอโพลิเมอร์

2.2.1 การเตรียมดินขาวเพาห์รีเมเตกาลิน

นำดินขาวไปเผาที่อุณหภูมิ 600 องศาเซลเซียส เป็นเวลา 2 ชั่วโมง บดให้ละเอียดด้วยกรง จากนั้นนำไปปร่องผ่านตะแกรงขนาด 45 ไมโครเมตร

2.2.2 การเตรียมซิลิกาฟูม

นำซิลิกาฟูมไปเผาที่อุณหภูมิ 600 องศาเซลเซียส เป็นเวลา 2 ชั่วโมง บดให้ละเอียดด้วยกรง จากนั้น

นำไปปร่องผ่านตะแกรงขนาด 45 ไมโครเมตร

2.2.3 การขึ้นรูปเม็ดยาอะม็อกซิซิลลินในจีโอโพลิเมอร์

ซึ่งดินขาวเผา 5.0000 กรัม ผสมกับอะม็อกซิซิลลิน 0.0650 กรัม (1.3%) และซิงคิลิกาฟูมมา 0.2500, 0.3750 และ 0.5000 กรัม ผสมกับโซเดียมไฮดรอกไซด์ 3 มอลาร์ 6.0000 กรัม คนให้เข้ากัน นำไปผสมกับดินขาวเผาที่ผสมกับผงยาอะม็อกซิซิลลินไว้แล้ว คนให้เข้ากัน นำสารละลายที่ได้เทใส่แม่พิมพ์โพลิเอทธิลีนขนาดเส้นผ่านศูนย์กลาง 1.0 เซนติเมตร หนา 0.5 เซนติเมตร ทึ่งไว้ 1 ชั่วโมง นำพลาสติกน้อมอาหารมาห่อแม่พิมพ์ และนำไปอบด้วยตู้อบไฟฟ้าที่อุณหภูมิ 40 องศาเซลเซียส เป็นเวลา 48 ชั่วโมง เพื่อให้เกิดปฏิกิริยาจีโอเมอร์ไรเซชัน ได้เป็นตัวอย่างจีโอโพลิเมอร์ (Ge) ยาอะม็อกซิซิลลิน (Am) ซิลิกาฟูม (SF) GeAmSF5, GeAmSF7.5 และ GeAmSF10 ตามลำดับ (คิดจาก % w/w ของซิลิกาฟูมต่อดินขาวเผา)

2.3 การศึกษาสมบัติทางกล

การศึกษาผลของซิลิกาฟูมที่มีผลต่อกำลังรับแรงบัดของเม็ดยาจีโอโพลิเมอร์จากดินขาวตามมาตรฐาน ASTM C109M-08 (Standard Test Method for Compressive Strength of Hydraulic Cement Mortars) โดยใช้ตัวอย่างขนาด $2.5 \times 2.5 \times 2.5$ เซนติเมตร ทำการทดสอบที่อายุ 7 วัน

2.4 การละลายของเม็ดยาอะม็อกซิซิลลินจีโอโพลิเมอร์และเม็ดยาทางการค้าในตัวทำละลายต่าง ๆ

ซึ่งเม็ดยาอะม็อกซิซิลลินทางการค้าและเม็ดยา GeAmSF5, GeAmSF7.5, และ GeAmSF10 ละลายในตัวทำละลาย 40 เบอร์เซ็นต์โดยปริมาตรอุ่นออล, 20 เบอร์เซ็นต์โดยปริมาตรอุ่นออล, สารละลายพีเอช 1 (0.1 มอลาร์ กรดไฮโดรคลอริก), และสารละลายพีเอช 12 (0.1 มอลาร์ โซเดียมไฮดรอกไซด์) น้ำปราศจาก

โดยอน 50 องศาเซลเซียสเป็นเวลา 2 ชั่วโมง วัดค่าการดูดกลืนของแสงด้วยเครื่องยูวี-วิสิเบิล สเปกโตรโฟโต้มิเตอร์ ที่ความยาวคลื่นสูงสุดที่ 272 นาโนเมตร เปรียบเทียบความสามารถในการปลดปล่อยตัวยาอะม็อกซิซิลลินจากเม็ดยาจีโอโพลิเมอร์ที่ตัวทำละลายที่แตกต่างกัน

2.5 การปลดปล่อยยาอะม็อกซิซิลลินจากจีโอโพลิเมอร์ในสภาพแวดล้อมแบบกระเพาะอาหารและจำไส้เล็ก เวลา 12 ชั่วโมง

ชั้นเม็ดยา GeAmSF5, GeAmSF7.5, และ GeAmSF10 แข็งในบัฟเฟอร์พีเอช 1.00 และบัฟเฟอร์ฟอสฟอติฟีเอช 6.80 ในชั่วโมงพูปิดฝ้า จากนั้นนำเข้าเครื่องเขย่าแบบควบคุมอุณหภูมิ ที่อุณหภูมิ 37 องศาเซลเซียส徐 100 รอบต่อนาที เป็นเวลา 12 ชั่วโมง ปีเปตสารละลายทั้ง 6 ชุด เมื่อเวลาผ่านไป 5, 10, 15, 30, 45 นาที 1, 2, 3, 4, 5, 6, 7, 8, 9, 10, 11, และ 12 ชั่วโมง นำไปวัดให้ปั่นเหมือนที่ความเร็ว 100 รอบต่อนาที เป็นเวลา 5 นาที เพื่อให้สารละลายใส จากนั้นนำไปวัดค่าการดูดกลืนของแสงด้วยเครื่องยูวี-วิสิเบิล สเปกโตรโฟโต้มิเตอร์ ที่ความยาวคลื่นสูงสุด (272 นาโนเมตร) นำค่าที่การดูดกลืนแสงที่ได้ไปเปรียบเทียบกับกราฟมาตรฐาน

2.5 ศึกษาผลจากการปลดปล่อยยาตามแบบจำลองทางคณิตศาสตร์

ตารางที่ 1 แสดงแบบจำลองคณิตศาสตร์ที่ใช้ศึกษาการปลดปล่อยยาอะม็อกซิซิลลินจากเม็ดยาจีโอโพลิเมอร์

แบบจำลองคณิตศาสตร์	สมการคณิตศาสตร์
อันดับศูนย์	$Q_t = Q_0 + K_0 t$
อันดับหนึ่ง	$\log Q_t = \log Q_0 - K_1 t / 2.303$
Higuchi	$Q_t = K_H \sqrt{t}$
Korsmeyer-peppas	$\log Q_t = \log K_K + n \log t$

โดยที่ Q_t = ปริมาณยาที่ละลายในเวลา t ชั่วโมง

Q_0 = ปริมาณของยาเริ่มต้นในสารละลาย

t = เวลา (ชั่วโมง)

K_0 = ค่าคงที่ปฏิกิริยาการปลดปล่อยอันดับศูนย์

K_1 = ค่าคงที่ปฏิกิริยาการปลดปล่อยอันดับหนึ่ง

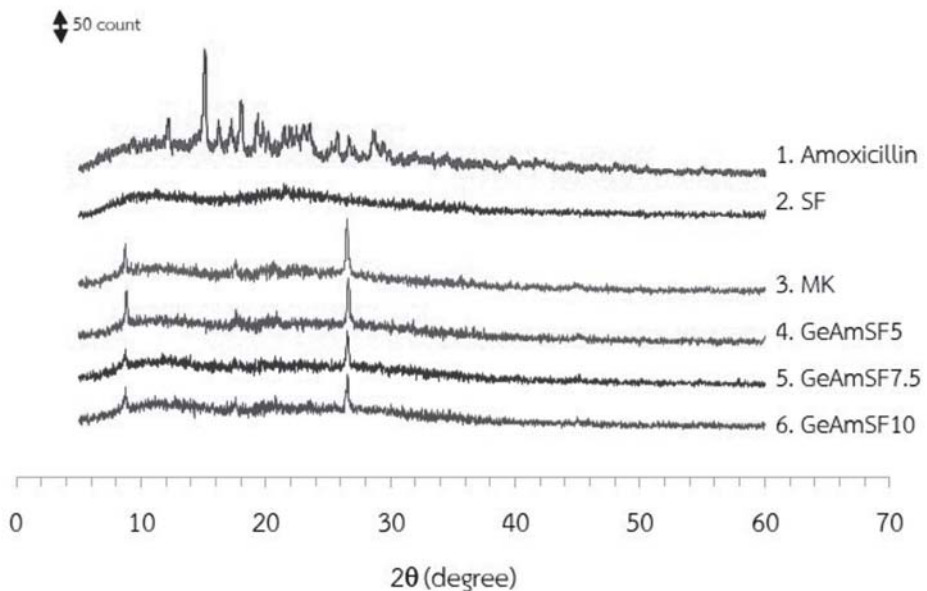
K_H = ค่าคงที่ Higuchi

K_K = ค่าคงที่ Korsmeyer-peppas

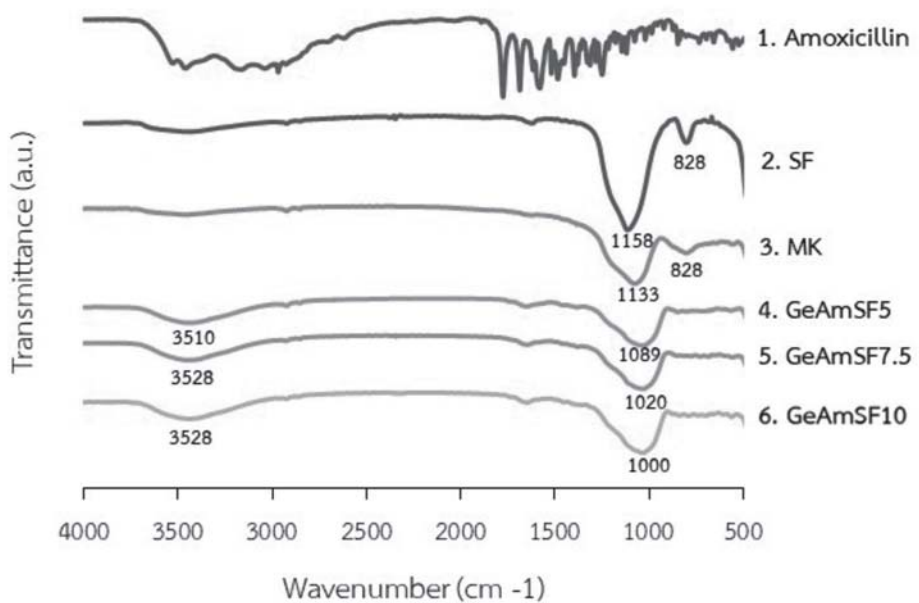
อ้างอิงจาก [11], [12]

3. ผลการศึกษาและอภิปรายผล

จากการศึกษาลักษณะทางกายภาพของเม็ดยาจีโอโพลิเมอร์ด้วยเทคนิคเอกซ์เรย์ดิฟเฟรนซ์ จากรูปที่ 1 เส้นที่ 1 เป็นลักษณะพื้นของยาอะม็อกซิซิลลิน เส้นที่ 2 เป็นลักษณะพื้นของซิลิกาฟูม (SF) พบว่า ซิลิกาฟูมเป็นอสังหาริมทรัพย์ พราะพบพื้นกว้างที่ 20 ประมาณ 22° เส้นที่ 3 เป็นลักษณะพื้นของเมตาเกอลิน (MK) หรือดินขาวเผา พบร่องรอยของอลิลิต (Illite) ที่ 2θ เท่ากับ 8° และพบพื้นของ Quartz ที่ $2q$ เท่ากับ 27° [13] เมื่อเกิดปฏิกิริยาจีโอโพลิเมอร์รีเซ็น โดยมีสารตั้งต้นเป็นซิลิกาฟูม เมتاเกอลิน และโซเดียมไฮดรอกไซด์ เกิดเป็นจีโอโพลิเมอร์ [7-9, 16] พบร่องรอยที่เป็นผลึกของเมตาเกอลินหลงเหลืออยู่ และไม่พบร่องรอยที่เป็นผลึกของยาอะม็อกซิซิลลินเนื่องจากมีปริมาณน้อย (1.3%) แต่จะพบพื้นของ Quartz จากเส้นที่ 4 ถึง 6 ที่มีความสูงของพื้นลดลง เมื่อมีปริมาณของซิลิกาฟูมมากขึ้น และมีลักษณะเป็นช่วงกว้างมากขึ้นที่บริเวณ $2\theta = 10^\circ$ ถึง 18° เนื่องจากการเกิดเป็นจีโอโพลิเมอร์ [10] การศึกษาเกิดพันธะหรือเกิดหมุนฟังก์ชันในจีโอโพลิเมอร์ด้วยเครื่องฟูเรียร์ทرانฟอร์મอินฟราเรดสเปกโตรสโคปี รูปที่ 2 ปรากฏพื้นที่ช่วงประมาณ 3500 cm^{-1} แสดงถึงหมุนฟังก์ชัน O-H Stretching Vibration ของน้ำสเปคตรัมเส้นที่ 2 ซิลิกาฟูม (SF) ปรากฏพื้นที่ 1158 cm^{-1} แสดงถึงการสั่นของ Si-O และที่พื้นที่ 828 cm^{-1} เป็นการสั่นของ Al-O ที่เป็นส่วนประกอบของซิลิกาฟูม [16], [14]



รูปที่ 1 XRD ของยาอะม็อกซิซิลลิน ซิลิกาฟูม เมتاเกอลิน และเม็ดยาจีโอโพลิเมอร์ทั้งสามอัตราส่วน



รูปที่ 2 FT-IR ของยาอะม็อกซิซิลลิน ซิลิกาฟูม เมتاเกอลิน และเม็ดยาจีโอโพลิเมอร์ทั้งสามอัตราส่วน

สเปกตรัมเส้นที่ 3 เมตาเกอลิน (MK) พบการสั่นของพีค Si-O และ Al-O เช่นเดียวกันเมื่อทำปฏิกิริยา การเกิดเป็นจีโอโพลิเมอร์ (GeAmSF5, GeAmSF7.5 และ GeAmSF10) จะพบพีคที่ประมาณ 1000 cm^{-1} แสดงถึงการมีหมุนฟังชัน Si-O-Al เกิดขึ้นในเม็ดยาจีโอโพลิเมอร์ซึ่งเป็นเป็น Asymmetric Stretching เป็นของอุ่นในชิลลิเกตในจีโอโพลิเมอร์ และจากรูปที่ 2 เส้นที่ 4 ถึง 6 การสั่นของ Si-O-Al ในจีโอโพลิเมอร์ พบว่ามีพีคเลื่อนไปในทางเลขคณิตต่างๆ 45 ถึง 110 cm^{-1} เพราะปริมาณของชิลลิการฟูมที่เพิ่มขึ้น ก็ไดจากการสร้างพันธะในโครงสร้างของจีโอโพลิเมอร์ในลักษณะ Framework [14]

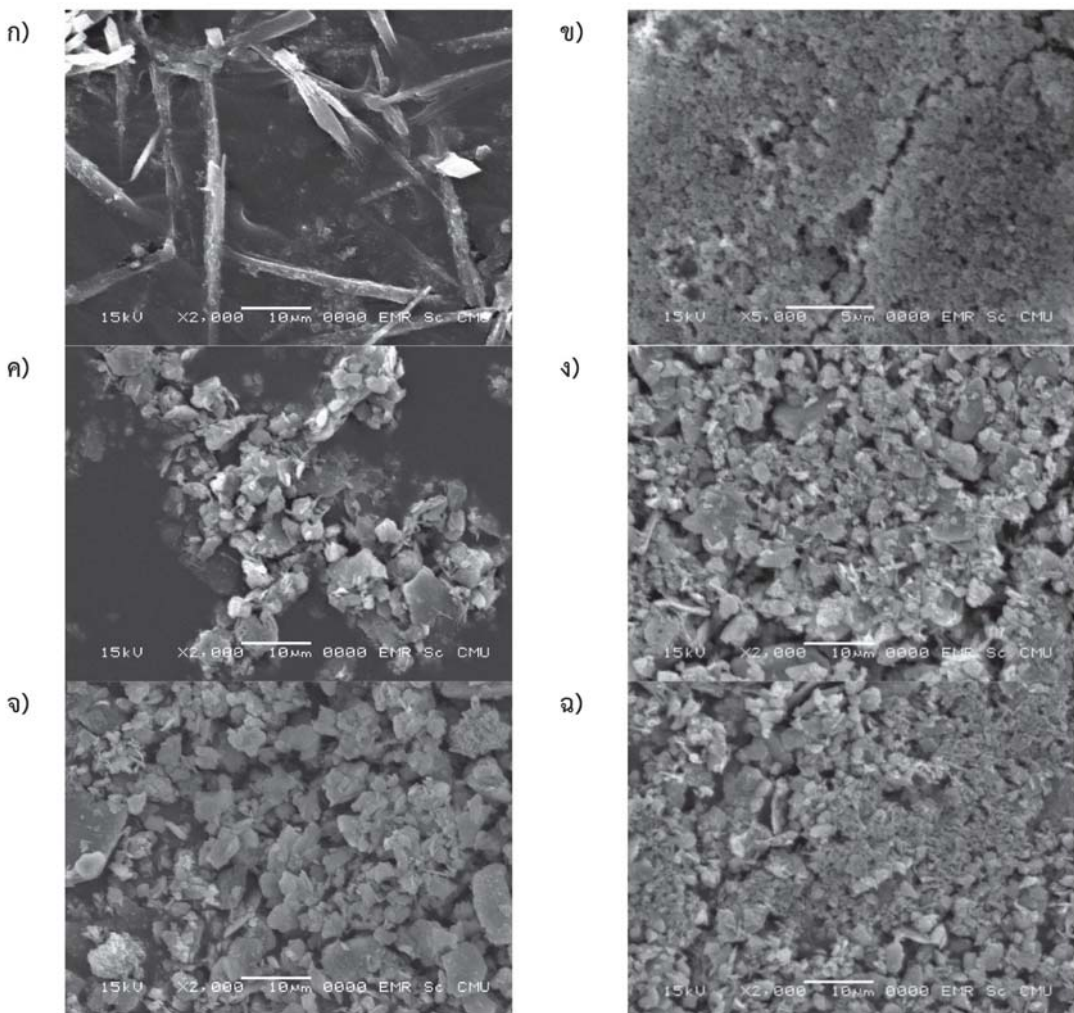
การศึกษาโครงสร้างทางจุลภาคของเม็ดยาอะมีอกชิลลิจีโอโพลิเมอร์ด้วยกล้องจุลทรรศน์ อิเล็กตรอนแบบส่องกระแสไฟฟ้า พบว่าอย่างอะมีอกชิลลิจีลินจะมีลักษณะเป็นแท่งเข็มที่มีเส้นผ่าศูนย์กลางประมาณ 2 ไมโครเมตร ชิลลิการฟูม จะมีลักษณะเป็นเม็ดกลมขนาดเล็กเกาะกันเป็นก้อน และเมตาเกอลิน จะมีลักษณะเป็นแผ่นช้อนกันเป็นชั้น ๆ (ดังรูปที่ 3 ก), ข), และ ค) ตามลำดับ เม็ดยาอะมีอกชิลลิจีโอโพลิเมอร์ที่ชิลลิการฟูมแตกต่างกัน GeAmSF5, GeAmSF7.5, GeAmSF10 ในรูปที่ 3 ง), จ), และ ฉ) จะเห็นเนื้อของเมตาเกอลินกับชิลลิการฟูมที่มีลักษณะเป็นรูปเข็มแพร่กระจายตัวอยู่ในจีโอโพลิเมอร์ ซึ่ง GeAmSF5 จะมีลักษณะของเมตาเกอลินกับชิลลิการฟูมที่เป็นเนื้อเดียวกันและมียาอะมีอกชิลลิจีลินที่มีลักษณะเป็นรูปเข็มแพร่กระจายตัวอยู่ในจีโอโพลิเมอร์ ซึ่ง GeAmSF5 จะมีลักษณะของเมตาเกอลินกับชิลลิการฟูมที่เป็นเนื้อเดียวกันน้อยกว่า GeAmSF7.5 และ GeAmSF10 ดังนั้นเมื่อปริมาณชิลลิการฟูมเพิ่มมากขึ้นจีโอโพลิเมอร์กับยาอะมีอกชิลลิจีลินมีความเป็นเนื้อเดียวกันและมีความหนาแน่นมากขึ้น เนื่องจากชิลลิการฟูมมีขนาดเล็กสามารถเข้าไปในช่องว่างและเชื่อมเป็นเนื้อเดียวกันส่งผลให้รูปทรงมีขนาดเล็กลงตามลำดับ สอดคล้องกับงานวิจัยของ Okoye และคณะ [15] ภาพจากกล้องถ่ายรูปแบบ 3 มิติ ดังรูปที่ 4 จากสิน้ำเงินไปยังแดง ($30-150 \text{ นาโนเมตร}$) บอกถึงความลึกไปถึงความสูงของพื้นที่ผิวพบว่าเม็ดยา

จีโอโพลิเมอร์ GeAmSF5 ในรูปที่ 4 ก) จะมีพื้นที่ผิวที่ไม่เรียบ ขรุขระหรือมีความเป็นรูพรุนมากกว่า เม็ดยาจีโอโพลิเมอร์ GeAmSF7.5 และเม็ดยาจีโอโพลิเมอร์ GeAmSF10 ตามลำดับ โดยสอดคล้องกับภาพ SEM รูปที่ 3 ของเม็ดยาจีโอโพลิเมอร์ GeAmSF5 ที่มีลักษณะของเมตาเกอลินกับชิลลิการฟูมที่ไม่เป็นเนื้อเดียวกันมากกว่า ดังนั้นทำให้มีพื้นที่ผิวที่ไม่เรียบหรือขรุขระมากและทำให้มีรูพรุนมากเมื่อเทียบกับเม็ดยาจีโอโพลิเมอร์ในอัตราส่วน GeAmSF7.5 และ GeAmSF10 การคำนวณค่าอัตราส่วนของพื้นที่ทั้งหมดต่อพื้นที่ผิวเรียบของเม็ดยา GeAmSF5, GeAmSF7.5 และ GeAmSF10 มีค่า $3.13, 2.85$ และ 2.75 ตามลำดับ ดังตารางที่ 2 โดยสอดคล้องกับผลกำลังรับแรงอัดของเม็ดยาจีโอโพลิเมอร์ที่มีค่ามากขึ้นเมื่อรูพรุนลดลงและมีความหนาแน่นเพิ่มขึ้น

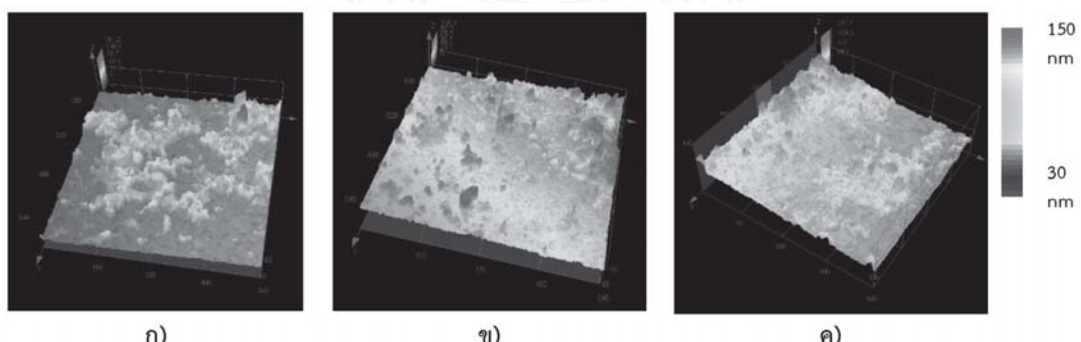
ศึกษาการปลดปล่อยยาอะมีอกชิลลิจีลินจากเม็ดยาจีโอโพลิเมอร์และเม็ดยาทางการค้าในตัวทำละลายต่างๆ ด้วยวิธียูวี-วิสิเบล สเปกไทรไฟโตเมตรี เมื่อเปรียบเทียบการละลายของตัวยาอะมีอกชิลลิจีลินในเม็ดยา GeAmSF5 มีค่าการปลดปล่อยสูงกว่า GeAm SF7.5 และ GeAmSF10 ตามลำดับ ในทุกตัวทำละลายได้แก่ 40 เบอร์เซ็นต์ และ 20 เบอร์เซ็นต์ของเอทานอลสารละลายบีฟเฟอร์พีเอช 1, 12

ตารางที่ 2 ค่าอัตราส่วนพื้นที่ผิว ค่ากำลังรับแรงอัดและความหนาแน่น ของเม็ดยาจีโอโพลิเมอร์

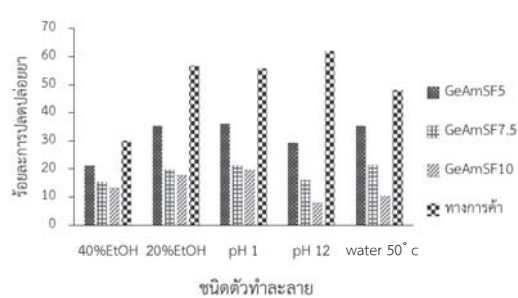
ตัวอย่าง	GeAmSF5	GeAmSF7.5	GeAmSF10
อัตราส่วนของพื้นที่ผิว	3.13	2.85	2.75
กำลังรับแรงอัด (kg/cm^2)	9.1335	10.7645	15.1681
ความหนาแน่น (g/cm^3)	1.2928	1.4528	1.5232



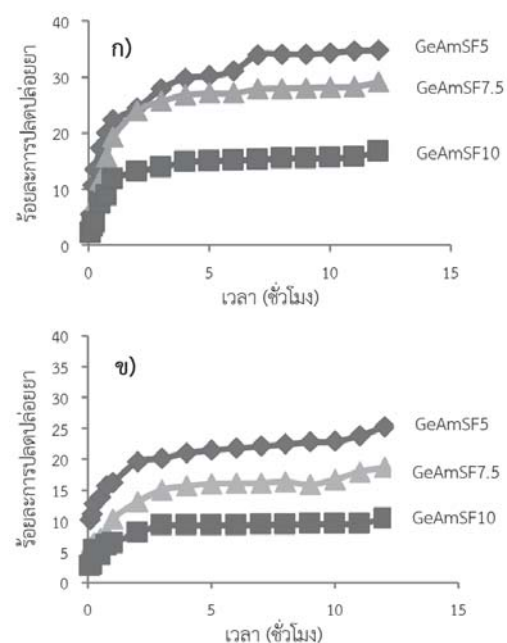
รูปที่ 3 ภาพ SEM ของ ก) ยาอะม็อกซิซิลลิน, ข) ซีลิกาฟูม, ค) เมตากეลิน, ง) GeAmSF5, จ) GeAmSF7.5, ฉ) GeAmSF10



รูปที่ 4 พื้นที่ผิวของเม็ดยาจีโอลิเมอร์ด้วยกล้องสำเสียงเลเซอร์แบบ 3 มิติ ก) GeAmSF5 ข) GeAmSF7.5 ค) GeAmSF10



รูปที่ 5 การเปรียบเทียบการปลดปล่อยยาของเม็ดยาจีโอโพลิเมอร์กับเม็ดยาของเม็ดชิลินทางการค้าในตัวทำละลายต่าง ๆ เวลา 2 ชั่วโมง



รูปที่ 6 ก) การวิเคราะห์การปลดปล่อยยาในสภาวะเลี้ยงแบบกระเพาะอาหาร (พีอีช 1) ข) ในสภาวะเลี้ยงแบบลำไส้เล็ก (พีอีช 6.8)

และน้ำที่มีอุณหภูมิ 50 องศาเซลเซียส ดังรูปที่ 5 เมื่อจากปริมาณชิลินเพิ่มมากขึ้น (GeAmSF10) ยาจะมีออกซิชิลินจะมีความเข้ากันได้หรือเป็นเนื้อเดียวกันกับจีโอโพลิเมอร์มากกว่า ดังนั้นทำให้การละลายหรือการปลดปล่อยยาจะมีออกซิชิลินออกมาน้ำสู่ตัวทำละลาย เมื่อปริมาณชิลินมากกว่าจะมีค่าการปลดปล่อยต่ำกว่า สอดคล้องกับผลของ SEM และกล้องลำแสง เลเซอร์แบบ 3 มิติ ดังที่กล่าวมา เมื่อเปรียบเทียบเม็ดยาจีโอโพลิเมอร์กับเม็ดยาทางการค้า พบว่าเม็ดยาทางการค้าปลดปล่อยตัวยาที่สูงกว่าเม็ดยาจีโอโพลิเมอร์ในทุก ๆ ตัวทำละลายและในทุกอัตราส่วนของเม็ดยาจีโอโพลิเมอร์ ดังนั้นจีโอโพลิเมอร์เมทริกซ์จึงเป็นตัวช่วยในการักษาตัวยาได้เป็นอย่างดี จากการศึกษาการปลดปล่อยยาของเม็ดชิลินในสภาวะเลี้ยงแบบกระเพาะอาหาร (พีอีช 1) ที่อุณหภูมิ 37 องศาเซลเซียส เวลา 12 ชั่วโมง (ดังรูปที่ 6 ก) พบว่า ในช่วง 2 ชั่วโมงแรกมีการปลดปล่อยยาของเม็ดชิลินอย่างรวดเร็วทุกอัตราส่วนของเม็ดยาจีโอโพลิเมอร์ หลังจาก 3 ชั่วโมงเริ่มมีการปลดปล่อยยาของเม็ดชิลินคงที่ เมื่อเปรียบเทียบเม็ดยาจีโอโพลิเมอร์ทั้ง 3 อัตราส่วนนี้ เม็ดยาจีโอโพลิเมอร์ GeAmSF5 มีการปลดปล่อยยาของเม็ดชิลินสูงกว่า GeAmSF7.5 และ GeAmSF10 ตามลำดับ เนื่องจากผลของความเป็นเนื้อเดียวกันระหว่างยาจะมีออกซิชิลินกับจีโอโพลิเมอร์เมทริกซ์ทำให้ GeAmSF10 มีการปลดปล่อยที่สภาวะเลี้ยงแบบกระเพาะอาหารน้อยที่สุด เมื่อเปรียบเทียบกับอัตราส่วนอื่น ๆ และสอดคล้องกับผลของการละลายของเม็ดยาของเม็ดชิลินในตัวทำละลายต่าง ๆ ที่กล่าวมาแล้ว และในการศึกษาการปลดปล่อยยาของเม็ดชิลินในสภาวะเลี้ยงแบบลำไส้เล็ก (พีอีช 6.8) ที่อุณหภูมิ 37 องศาเซลเซียส เวลา 12 ชั่วโมง (ดังรูปที่ 6 ข) ลักษณะการปลดปล่อยยาของเม็ดชิลินจากเม็ดยาจีโอโพลิเมอร์ทั้งสามอัตราส่วนมีแนวโน้มเหมือนกันกับสภาวะเลี้ยงแบบกระเพาะอาหาร แต่เมื่อเปรียบเทียบทั้งสองสภาวะพบว่าสภาวะเลี้ยงแบบกระเพาะอาหารจะมีการ

ผลปล่อยยาได้ดีกว่า เนื่องจากโครงสร้างจีโอโพลิเมอร์ ถูกทำลายจากการชลละลายอุบัติเหตุของอะลูมิเนียม ในสภาวะกรดแก่ การปลดปล่อยยาจะคงที่หลังจาก 3 ชั่วโมงเป็นต้นไป และเม็ดยาจีโอโพลิเมอร์มีความคงทนต่อการปลดปล่อยยา กล่าวคือสามารถถักเก็บตัวยาอะม็อกซิซิลลินได้ดีในช่วง 2 ชั่วโมงแรก เป็นประโยชน์ในการที่ยังไม่ต้องการให้ยาออกฤทธิ์เมื่อออยู่ ในกระเพาะอาหารเมื่อรับประทานยาเข้าไปในช่วงแรก แต่จะออกฤทธิ์หลังจากที่เม็ดยาเข้าไปสู่ลำไส้เล็ก หลังจาก 3 ชั่วโมงเป็นต้นไป และมีการปลดปล่อยยาแบบคงที่ โดยตัวยาอะม็อกซิซิลลินที่นำมาเป็นแบบจำลองของยาเป็นยาปฏิชีวนะ มีความทนต่อสภาวะในกระเพาะอาหารและสามารถปลดปล่อยยาที่อ่อนไหวอื่นต่อไป ส่วนสุดท้ายคือการศึกษาถกไกการปลดปล่อยยาตามแบบจำลองคงทนศาสตร์ อันดับศูนย์ อันดับหนึ่ง Higuchi และ Korsmeyer-peppas การปลดปล่อยยาแบบจำลองอันดับศูนย์เป็นการปลดปล่อยยาในลักษณะที่ยาละลายได้น้อยและไม่รวมตัวเป็นเนื้อเดียวกันกับเม็ดยา แบบจำลองอันดับหนึ่งเป็นการซึมผ่านของยาโดยมีโพลิเมอร์ร้อนรอบยา กลไกการปลดปล่อยยาจัง

ไม่มีการอธิบายที่แน่ชัด แต่นิยมใช้ในยาที่ละลายได้ในน้ำและอยู่ในรูปรุนของเมทริกซ์ Korsmeyer-peppas อธิบายการปลดปล่อยยาจากระบบที่มีความซับซ้อนมากขึ้น เนื่องจากเป็นการผสมกันทั้งการแพร่การกร่อน การพองตัว โดยขึ้นกับรูปร่างของเมทริกซ์ [11], [12] จากตารางที่ 3 พบรากрафของแบบจำลอง Higuchi มีค่า R^2 เข้าใกล้ 1 มากกว่า เมื่อเปรียบเทียบกับแบบจำลองแบบอันดับศูนย์ แบบอันดับหนึ่ง และ Korsmeyer-peppas จึงทำให้การศึกษาถกไกการปลดปล่อยยาอะม็อกซิซิลลินเป็นไปตามแบบจำลอง Higuchi อธิบายการแพร่ของยา ดังนี้ 1) ความเข้มข้นของยาตอนเริ่มต้นในเมทริกซ์จะต้องสูงกว่ายาที่ละลาย 2) การแพร่กระจายของยาเกิดเพียงหนึ่งทิศทางเท่านั้น 3) อนุภาคของยาจะมีขนาดเล็กกว่าความหนาของเมทริกซ์ 4) การปลดปล่อยไม่คำนึงถึงการบรวมและการละลายของเมทริกซ์ 5) การแพร่ของยาจะคงที่และสมบูรณ์แบบ ซึ่งสอดคล้องกับงานวิจัยของ Cai และคณะ [10] ที่ศึกษาถกไกการปลดปล่อยยาโดยอิปอยด์ด้วยจีโอโพลิเมอร์

ตารางที่ 3 การศึกษาถกไกการปลดปล่อยยาอะม็อกซิซิลลินจากเม็ดยาจีโอโพลิเมอร์ตามแบบจำลองคงทนศาสตร์

ตัวอย่างแบบจำลอง คงทนศาสตร์		GeAmSF5		GeAmSF7.5		GeAmSF10	
		pH1	pH6.8	pH1	pH6.8	pH1	pH6.8
Higuchi	K_h	11.63	13.77	10.22	13.39	11.10	13.56
	R^2	0.9513	0.9315	0.9772	0.9315	0.9899	0.9557
อันดับศูนย์	K_0	4.91	5.18	4.31	4.33	4.85	5.06
	R^2	0.6711	0.9682	0.8394	0.9069	0.7817	0.9404
อันดับหนึ่ง	K_1	0.07	0.05	0.08	0.04	0.07	0.05
	R^2	0.5611	0.5801	0.4932	0.7069	0.4961	0.6751
Korsmeyer-peppas	K_k	0.85	0.62	0.99	0.55	0.94	0.63
	R^2	0.8242	0.7839	0.9701	0.916	0.9570	0.9087

4. สรุป

เม็ดยาอะมีอกซิซิลินเจิโอโพลิเมอร์ เตรียมได้จากเมาเตาเกาลินและซิลิกาฟูม ศึกษาผลของปริมาณซิลิกาฟูม พบว่าปริมาณซิลิกาฟูมน้อยส่งผลให้กำลังรับแรงอัดน้อยเนื่องจากความเป็นรูพรุนมากและส่งผลให้การปลดปล่อยยาอะมีอกซิซิลินมากกว่าเมื่อเทียบกับปริมาณซิลิกาฟูมสูงในเม็ดยาเจิโอโพลิเมอร์ เม็ดยาอะมีอกซิซิลินทางการค้ามีความทนต่อตัวทำละลายเอทานอล น้ำ 50 องศาเซลเซียล สารละลายพีเอช 1 และพีเอช 12 น้อยกว่าเม็ดยาเจิโอโพลิเมอร์ในเวลา 2 ชั่วโมง การศึกษาการปลดปล่อยยาอะมีอกซิซิลินในสภาพะลี่ยนแบบกระเพาะอาหารและลำไส้เล็ก มีการปลดปล่อยคงที่หลังจาก 3 ชั่วโมงเป็นต้นไป แต่เมื่อเทียบกับปริมาณซิลิกาฟูมสูงในสภาพะลี่ยนของยาอะมีอกซิซิลินจะมีการปลดปล่อยยาในสภาพะลี่ยนแบบกระเพาะอาหารได้มากกว่าเนื่องจากการชะล้างออกของไอออนอะลูมิเนียมในสภาพะลี่ยนจะถูกทำลายจากการศึกษาแบบจำลองคณิตศาสตร์การปลดปล่อยยาสอดคล้องกับแบบจำลองของ Higuchi มีกลไกการปลดปล่อยยาอะมีอกซิซิลินจากเจิโอโพลิเมอร์ เมทริกซ์เกิดโดยการแพร่ผ่าน มากไปกว่านั้นเม็ดยาเจิโอโพลิเมอร์มีความแข็งแรงเชิงกลสูง ทำให้สามารถนำไปพัฒนาเป็นยาที่ต้องการให้มีการออกฤทธิ์นาน (Sustained Release) ได้

5. กิตติกรรมประกาศ

ขอขอบคุณศูนย์วิจัยและพัฒนาโครงสร้างมูลฐานอย่างยั่งยืน ภาควิชาวิศวกรรมโยธา คณะวิศวกรรมศาสตร์ มหาวิทยาลัยขอนแก่น ที่อนุเคราะห์การวัดกำลังรับแรงอัดของเม็ดยาเจิโอโพลิเมอร์

6. เอกสารอ้างอิง

- [1] J. Davidovits, “Geopolymer: Inorganic polymeric new materials,” *Journal of Thermal Analysis*, vol. 37, pp. 1633-1659, 1991.

- [2] T. Suwan and M. Fan, “Effect of manufacturing process on the mechanisms and mechanical properties of fly ash-based geopolymer in ambient curing temperature,” *Materials and Manufacturing Processes Journal*, vol. 32, no. 5, pp. 461-467, 2017.
- [3] S. Sharma, D. Medpelli, S. Chenb, and D. K. Seo, “Calcium-modified hierarchically porous aluminosilicate geopolymer as a highly efficient regenerable catalyst for biodiesel production,” *RSC Advances Journal*, vol. 5, pp. 65454-65461, 2015.
- [4] Y. Ge, X. Cui, Y. Kong, Z. Li, Y. He and Q. Zhou, “Porous geopolymeric spheres for removal of Cu (II) from aqueous solution: Synthesis and evaluation,” *Journal of Hazardous Materials*, vol. 283, pp. 244–251, 2015.
- [5] L. A. S. Rodrigues, A. Figueiras, F. Veiga, R. M. Freitas, L. C. C. Nunes, E. C. S. Filho and C. M. S. Leite, “The systems containing clays and clay minerals from modified drug release,” *Colloids and Surfaces B: Biointerfaces*, vol. 103, pp. 642–651, 2013.
- [6] J. Nicolas, S. Mura, D. Brambilla, N. Mackiewicz, and P. Couvreur, “Design, functionalization strategies and biomedical applications of targeted biodegradable/biocompatible polymer-based nanocarriers for drug delivery,” *Chemical Society Reviews*, vol. 42, no. 3, pp. 1147–1235, 2013.

- [7] N. Kamaly, B. Yameen, J.Wu, and O. C. Farokhzad, "Degradable Controlled-Release Polymers and Polymeric Nanoparticles: Mechanisms of Controlling Drug Release," *Chemical Reviews*, vol.116, no. 4, pp. 2602–2663, 2016.
- [8] E. Jämstorp, J. Forsgren, S. Bredenberg, H. Engqvist and M. Strømme, "Mechanically strong geopolymers offer new possibilities in treatment of chronic pain," *Journal of Controlled Release*, vol. 146, no. 3, pp. 370–377, 2010.
- [9] J. Forsgren, C. Pedersen, M. Strømme and H. Engqvist, "Synthetic Geopolymers for Controlled Delivery of Oxycodone: Adjustable and Nanostructured Porosity Enables Tunable and Sustained Drug Release," *PLoS ONE*, vol. 6, no. 3, pp. e17759, 2011.
- [10] B. Cai, H. Engqvist and S. Bredenberg, "Evaluation of the resistance of a geopolymer-based drug delivery system to tampering," *International Journal of Pharmaceutics*, vol. 465, pp. 169–174, 2014.
- [11] J. Siepmann and F. Siepmann, "Modeling of diffusion controlled drug delivery," *Journal of Controlled Release*, vol. 161, pp. 351-362, 2012.
- [12] P. Costa and J. M. S. Lobo, "Modeling and comparison of dissolution profiled," *European Journal of Pharmaceutical Science*, vol. 13, pp. 123-133, 2001.
- [13] A. Hawa, D. Tonnayopas and W. Prachasaree, "Performance Evaluation and Microstructure Characterization of Metakaolin-Based Geopolymer Containing Oil Palm Ash," *The Science World Journal*, vol. 2013, pp. 1-9, 2013.
- [14] V. F.F. Barbosa, K. J. D. MacKenzie and C. Thaumaturgo, "Synthesis and characterization of materials based on inorganic polymers of alumina and silica: sodium polysialate polymer," *International Journal of Inorganic Materials*, vol. 2, pp. 309-317, 2000.
- [15] F.N. Okoye, J. Durgaprasad and N.B. Singh, "Effect of silica fume on the mechanical properties of fly ash based-geopolymer concrete," *Ceramics International Journal*, vol. 42, pp. 3000–3006, 2016.
- [16] H. M. Khater, "Effect of silica fume on the characterization of the geopolymer materials," *International Journal of Advanced Structural Engineering*, vol. 5, no. 12, pp. 1-10, 2013.